

Evaluación del Acoplamiento Molecular de Híbridos Tiazólicos con Potencial Antiproliferativo



Daniel Ordoñez Montero, David Cáceres Castillo, Ramiro F. Quijano Quiñones.

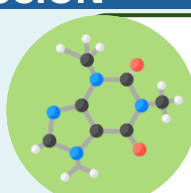
Laboratorio de Química Farmacéutica, Facultad de Química, Universidad Autónoma de Yucatán.



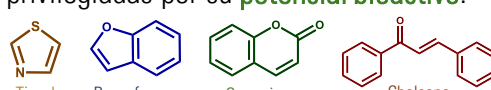
INTRODUCCIÓN



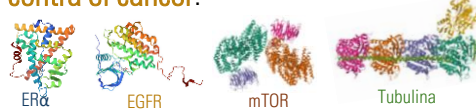
En el mundo, **1 de cada 6 muertes** se debe al **cáncer**.¹



Ciertas **estructuras** se consideran privilegiadas por su **potencial bioactivo**.²



Ciertas **proteínas** se consideran **objetivos contra el cáncer**.³

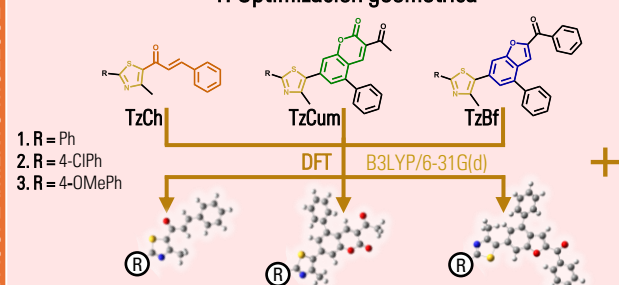


Este estudio propone la síntesis racional de híbridos tiazólicos con base en su potencial antiproliferativo frente a ER α , EGFR, mTOR y tubulina mediante acoplamiento molecular.

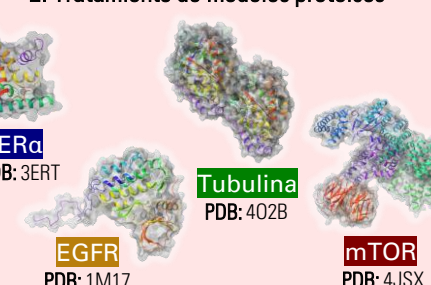
METODOLOGÍA

1. ACOPLAMIENTO MOLECULAR

1. Optimización geométrica



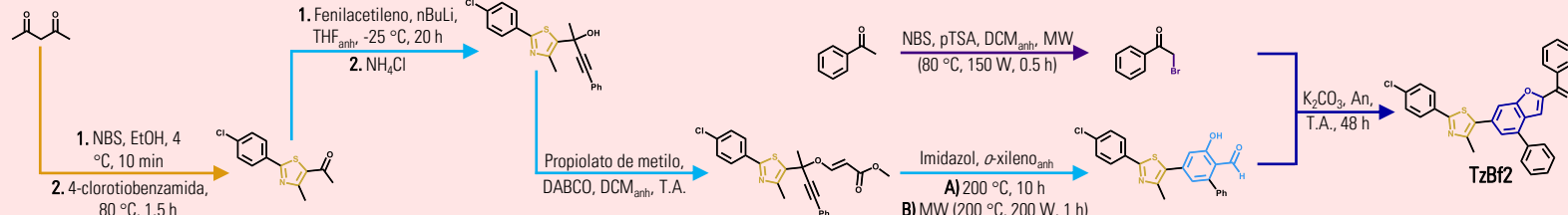
2. Tratamiento de modelos proteicos



3. Acoplamiento y visualización



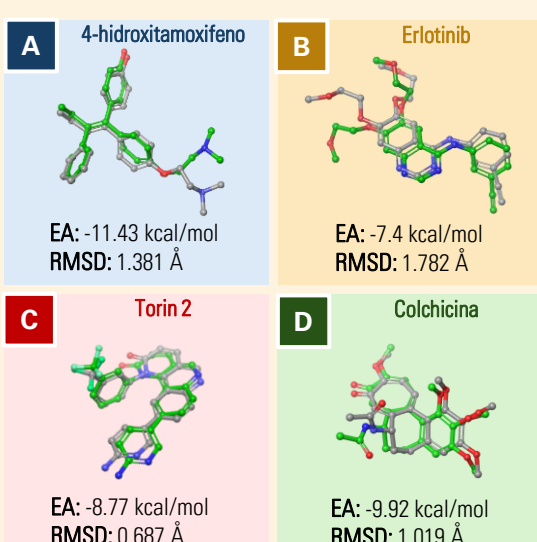
2. SÍNTESIS QUÍMICA



RESULTADOS Y DISCUSIONES

El **protocolo** de acoplamiento molecular fue validado al reproducir las poses de los **ligandos nativos** de cada **modelo proteico** estudiado.⁴

En el análisis de la **energía de afinidad (EA)** de los híbridos tiazólicos destacó el derivado **TzBf2** frente a la mayoría de receptores estudiados.



Cuadro 1. Resultados de EA del acoplamiento molecular.

| Híbrido | EA (kcal/mol) | | | |
|---------|----------------|---------------|--------------|---------------|
| | ER α | EGFR | mTOR | TUB |
| TzCh | 1 -8.19 | -8.76 | -7.40 | -8.93 |
| | 2 -8.23 | -8.97 | -7.78 | -8.49 |
| | 3 -8.17 | -8.65 | -7.54 | -8.79 |
| TzCum | 1 -10.08 | -9.72 | -8.26 | -10.69 |
| | 2 -8.58 | -9.95 | -8.10 | -10.66 |
| | 3 -8.35 | -9.64 | -7.83 | -12.16 |
| TzBf | 1 -10.20 | -11.14 | -7.69 | -11.53 |
| | 2 -9.08 | -11.31 | -8.46 | -12.24 |
| | 3 -8.44 | -11.02 | -8.21 | -12.25 |

El **híbrido TzBf2** fue obtenido con un **43 %** de rendimiento a través de una **condensación de Rap-Stoermer**.

CONCLUSIÓN

Los híbridos TzBf presentaron los **valores de EA más favorables**. Entre estos, el **híbrido TzBf2** fue sintetizado al exhibir el **mayor potencial antiproliferativo**, confirmando la **factibilidad de la estrategia sintética** empleada para la obtención de esta clase de híbridos.



REFERENCIAS

- Bray, F., et al. Global Cancer Statistics 2022: GLOBOCAN Estimates of Incidence and Mortality Worldwide for 36 Cancers in 185 Countries. *CA Cancer J. Clin.* **2024**, *74* (3), 229–263. <https://doi.org/10.3322/caac.21834>
- Privileged Scaffolds in Drug Discovery, 1a ed.; Yu, B., Li, N., Fu, C., Eds.; Academic Press, 2023. <https://doi.org/10.1016/C2022-0-00047-7>
- Mayank; Jaitak, V. Drug Target Strategies in Breast Cancer Treatment: Recent Developments. *Anticancer Agents Med. Chem.* **2014**, *14*(10), 1414–1427. <https://doi.org/10.2174/187152061466140407114853>
- Che, X.; Liu, Q.; Zhang, L. An Accurate and Universal Protein-Small Molecule Batch Docking Solution Using Autodock Vina. *Results Eng.* **2023**, *19* (101335), 101335. <https://doi.org/10.1016/j.rineng.2023.101335>